

## تخمین رطوبت لایه سطحی خاک اراضی مرتعی مناطق خشک و نیمهخشک با استفاده از شاخص دما و پوشش گیاهی (مطالعه موردی: استان خراسان)

حسین بابازاده<sup>۱</sup>، الناز نوروزی اقدم<sup>۲\*</sup>، حسین عقیقی<sup>۳</sup>، سید امیر شمس‌نیا<sup>۴</sup> و داود خدادادی دهکردی<sup>۵</sup>

۱- استادیار، گروه مهندسی آب، دانشگاه آزاد اسلامی، واحد علوم و تحقیقات تهران

۲\*\*- نویسنده مسئول، مریبی، دانشگاه آزاد اسلامی واحد میانه

پست الکترونیک: el\_noroozi@yahoo.com

۳- کارشناس ارشد سازمان فضایی ایران

۴- مریبی پژوهشی، گروه مهندسی آب، دانشگاه آزاد اسلامی واحد شیراز

۵- مریبی پژوهشی، گروه مهندسی آب، دانشگاه آزاد اسلامی واحد علوم و تحقیقات تهران

تاریخ دریافت: ۸۹/۰۶/۰۶ تاریخ پذیرش: ۹۰/۰۲/۲۵

### چکیده

رطوبت لایه سطحی خاک و تغییرات زمانی و مکانی آن از مهمترین متغیرهای محیطی است که به دلیل اندازه‌گیریهای دشوار، پرهزینه و وقت‌گیر میدانی، تاکنون به طور گسترده در مدل‌های اقلیمی استفاده نشده است. امروزه با پیشرفت روزافزون علم، جایگزینی فناوریهای جدید برای مدیریت صحیح منابع محدود آب و خاک ضروری می‌باشد. هدف از این تحقیق بررسی کاربرد داده‌های سنجنده MODIS<sup>۱</sup> برای برآورد رطوبت لایه سطحی خاک اراضی مرتعی مناطق خشک و نیمهخشک، دارای پوشش گیاهی افمرال، با استفاده از شاخص دما و پوشش گیاهی (TVX<sup>۲</sup>) می‌باشد. برای تخمین رطوبت لایه سطحی خاک در این تحقیق از داده‌های میدانی رطوبت خاک و داده‌های هواشناسی سه ایستگاه مشهد، نیشابور و کلمکان در استان خراسان، در دوره آماری سالهای ۲۰۰۳-۲۰۰۵ استفاده شد. شاخص<sup>۳</sup> NDVI، دمای درخشندگی<sup>۴</sup> باندهای ۳۱ و ۳۲ و دمای سطح زمین<sup>۵</sup> از تصاویر ماهواره‌ای MODIS استخراج شده و شبیه رابطه TVX<sup>۶</sup> بین NDVI، دمای سطح زمین و همچنین مقادیر دمای درخشندگی محاسبه گردید. مدل‌های مختلفی برای بررسی ارتباط بین شبیه رابطه TVX و مقادیر رطوبت خاک برآش داده شد. به طوری که نتایج حاصل از این تحقیق، همبستگی خوبی بین شبیه رابطه TVX (LST) و مقادیر رطوبت لایه سطحی خاک نشان داد.

واژه‌های کلیدی: رطوبت خاک، MODIS، مرتع، TVX، استان خراسان، LST

1- MODerate resolution Imaging Spectroradiometer

2- Ephemer

3- Temperature/Vegetation IndeX

4- Normalized Difference Vegetation Index

5- Brightness Temperature (BT)

6- Land Surface Temperature (LST)

## مقدمه

رطوبت خاک، یکی از مهمترین متغیرهای خاک و از نوع متغیرهای زمانی و مکانی است. این عامل یکی از اجزاء مهم مدل‌های آب و هوای، اکلوزیکی و هیدرولوژیکی محسوب می‌شود و تخمین دقیق آن برای مدل کردن این فرایندها ضروریست (Wigneron *et al.*, 1998; Wang & Qu, 2009). اندازه‌گیری میدانی رطوبت خاک علاوه بر طولانی و پرزحمت بودن، نمی‌تواند تغییرات مکانی آن را در سطح حوضه‌ها به نحو مطلوب نشان دهد (Wilson & Western, 2003)، در حالی‌که داده‌های سنجنده‌های ماهواره‌ای به صورت پیوسته و در محدوده وسیع‌تری وجود دارند و مشخصات بهتری از پدیده‌های محیطی را در کل فضای در مقایسه با موقعیت‌های نقطه‌ای مثل ایستگاه‌های هواشناسی ارائه می‌دهند (Legates, 2000; Unganai & Kogan, 1998; Kogan, 2000). این قابلیت، همان‌طور که مطالعات دهه‌های اخیر نشان داده است، شاخصهای ماهواره‌ای را برای پایش رطوبت کارا می‌سازد. اگر اندازه‌گیری‌های سنجش از دور بتواند با رطوبت لایه سطحی خاک ارتباط برقرار کند، از این طریق می‌توان به تغییرات منطقه‌ای و محلی رطوبت لایه سطحی خاک پی‌برد.

امروزه بسیاری از متخصصان سنجش از دور ترکیب داده‌های انعکاسی و حرارتی را برای بدست آوردن اطلاعات از پوشش گیاهی و پایش رطوبت خاک مفید می‌دانند (علوی‌پناه، ۱۳۸۲؛ نجفی دیسفانی، ۱۳۷۷). محققان تاکنون نتایج رضایت‌بخشی از روش شاخص TVX برای تخمین رطوبت لایه سطحی خاک بدست آورده‌اند. شاخص TVX، شاخصی ترکیبی است که از داده‌های انعکاسی، مادون قرمز نزدیک و حرارتی برای

تخمین عاملهای سطحی زمین مانند رطوبت خاک، دمای هوای سطحی و غیره استفاده می‌کند (Goward *et al.*, 1985; Price, 1990).

Goward *et al.*, (2000) برای تخمین شرایط رطوبت خاک سطحی در مزرعه تحقیقاتی HAPEX-Mobilhy<sup>1</sup> در کشور فرانسه از شاخص TVX و مدل SSiB<sup>2</sup> استفاده کردند. نتایج نشان داد که شاخص TVX قادر است تغییرات روزانه رطوبت خاک را تا عمق ۲ سانتی‌متری و تغییرات فصلی آن را تا عمق ۱۰ سانتی‌متری تخمین بزند. در تحقیق ذکر شده، شبیه TVX به سرعت باد، مشخصات خاک و زبری سطحی حساس بوده و با تغییر این عاملها تغییر می‌کند.

Goetz (1997) نشان داد که شبیه منحنی TVX در چمنزارهای کانزاس مرکزی، ۶۶ درصد تغییرات رطوبت خاک را در عمق کمتر از ۲ سانتی‌متر نشان می‌دهد. Goetz *et al.*, (1999) نیز در جهت انجام تحقیقات خود در راستای ابداع یک مدل بازده تولید PEM<sup>3</sup> (دمای رادیومتریک) و توسط داده‌های ماهواره‌ای NOAA/AVHRR<sup>4</sup> از Qin *et al.*, (2008) بدست آورdenد. همبستگی خطی بین رطوبت خاک، شاخص PDI<sup>5</sup> و TVX بدست آمده از داده‌های سنجنده مودیس، برای تخمین وضعیت خشکسالی در شمال‌غربی چین استفاده نمودند.

1- Hydrological and Atmospheric Pilot Experiment-Modelisation du Bilan Hydrique

2- Simplified Simple Biosphere

3- Production Efficiency Model

4- Surface Radiometric Temperature

5- Perpendicular Drought Index

## مواد و روشها

### منطقه مورد مطالعه

منطقه مورد مطالعه بخشی از مراتع استان خراسان است. استان خراسان در شمال شرقی کشور بین ۵۵ درجه و ۱۷ دقیقه تا ۶۱ درجه و ۱۵ دقیقه طول شرقی و ۳۰ درجه و ۲۴ دقیقه تا ۳۸ درجه و ۱۷ دقیقه عرض شمالی قرار دارد. اقلیم این استان متغیر و متنوع است، ولی به طورکلی جزء اقلیم‌های خشک و نیمه‌خشک محسوب می‌شود. به طورکلی دمای هوای استان از شمال‌غرب به جنوب‌شرق افزایش می‌یابد، حداکثر و حداقل مطلق دمای هوای استان به ترتیب ۵۰ و -۳۲ درجه سانتی‌گراد و متوسط بارش آن در حدود ۵۱ میلی‌متر می‌باشد. تنوع اقلیمی در استان خراسان و وسعت زیاد آن باعث تنوع زیادی در توزیع پوشش گیاهی منطقه شده است، گیاهان افروال نیز در مراتع استان به فراوانی مشاهده می‌شود.

به دلیل محدودیت داده‌های رطوبت لایه سطحی خاک اندازه‌گیری شده، از داده‌های سه ایستگاه مشهد، گلمکان و نیشابور استفاده شد. نام و مختصات جغرافیایی ایستگاه‌های منتخب در جدول (۱) آمده است. شکل (۱) موقعیت منطقه مورد مطالعه در بخش شمال‌شرقی کشور را نشان می‌دهد.

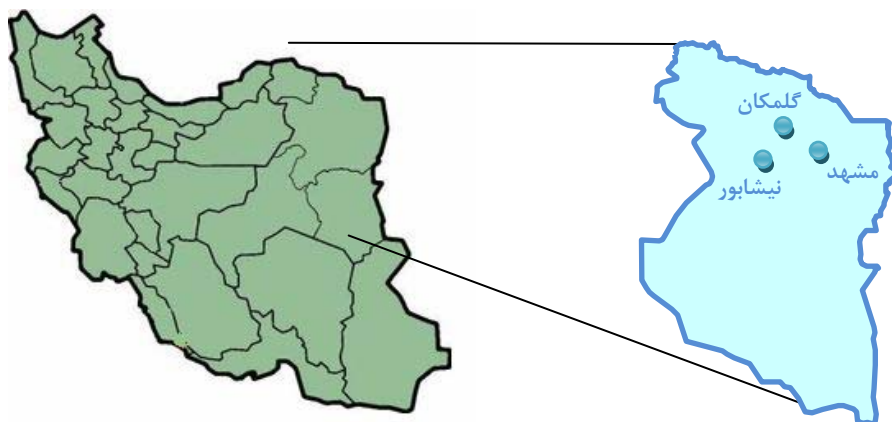
با توجه به اهمیت موضوع، Ramirez *et al.*, (2003) و Shao *et al.*, (2004) علوی‌پناه (۱۳۸۵) و محققان دیگری نیز به مطالعه ارتباط دمای سطح زمین با شاخص NDVI و نیز ارتباط این دو با رطوبت خاک پرداخته و به نتایج مطلوبی برای تخمین رطوبت لایه سطحی خاک رسیدند.

برای تخمین رطوبت خاک به وسیله شاخص TVX از شب نمودار دمای سطحی و شاخص پوشش گیاهی (اغلب NDVI) بدست آمده از داده‌های ماهواره‌ای استفاده می‌شود. در این تحقیق، علاوه بر دمای سطحی از دمای درخشندگی باندهای ۳۱ و ۳۲ (BT<sub>31</sub>, BT<sub>32</sub>) مودیس، به طور جداگانه، برای کلیه تصاویر و ایستگاه‌های موجود، به منظور برآورد شب رابطه TVX استفاده شد و همبستگی شب نمودارهای بدست آمده با رطوبت خاک مورد بررسی قرار گرفت.

هدف از این تحقیق بررسی امکان برآورد رطوبت لایه سطحی خاک با استفاده از داده‌های باندهای مرئی، مادون قرمز نزدیک و حرارتی سنجنده مودیس در اراضی مرتعی مناطق خشک و نیمه‌خشک و ایجاد رابطه بین رطوبت خاک بدست آمده از عملیات میدانی با شب رابطه TVX حاصل از تصاویر سنجنده مودیس است که می‌تواند به عنوان روشی کاربردی در مطالعات محیطی توسط محققان علوم مختلف مورد استفاده قرار گیرد.

جدول ۱- نام و مختصات جغرافیایی ایستگاه‌های منتخب

ایستگاه	طول جغرافیایی (درجه شرقی)	عرض جغرافیایی (درجه شمالی)	ارتفاع از سطح دریا (متر)
مشهد (M)	۵۹/۶۳	۳۶/۲۵	۹۹۰
گلمکان (G)	۵۹/۲۸	۳۶/۵۳	۱۱۷۶
نیشابور (N)	۵۸/۸	۳۶/۲	۱۳۵۰



شکل ۱- موقعیت منطقه مورد مطالعه

### - منابع داده‌ها

#### - داده‌های ماهواره‌ای مورد استفاده

در این تحقیق از داده‌های ماهواره‌ای مودیس استفاده شد، که علت استفاده از آن را می‌توان در دسترس بودن تصاویر برای محدوده مطالعاتی، قدرت تفکیک مکانی، رادیومتری، زمانی و طیفی مناسب آن و سوابق استفاده از این تصاویر در مطالعات مشابه ذکر کرد. تصاویر سنجنده مودیس برای روزهایی که آمار اندازه‌گیریهای رطوبت خاک آنها وجود داشت، از سازمان فضایی ایران تهیه شد.

با توجه به دوره رویش خداکثرا پوشش گیاهی، دوره ۵ ماهه از فروردین تا مرداد برای بررسی انتخاب شد. این انتخاب در کاهش حجم عملیات و افزایش دقت، تأثیر بسزایی داشت. پس از حذف تصاویر ابرناک و مشکل‌دار، نهایتاً ۲۳ تصویر برای بررسی انتخاب شد.

#### - داده‌های هواشناسی

برای تخمین دقیق‌تر رطوبت لایه سطحی خاک، علاوه بر شبیب رابطه TVX از برخی داده‌های روزانه هواشناسی (تهیه شده از مرکز آمار و اطلاعات سازمان هواشناسی

مقادیر واقعی رطوبت لایه سطحی خاک، دمای سطح زمین (LST) و شاخص اختلاف پوشش گیاهی نرمال شده (NDVI) حاصل از تصاویر سنجنده مودیس و عامل‌های هواشناسی، امکان تجزیه و تحلیل داده‌ها را به منظور دستیابی به مدل‌های برآورد رطوبت لایه سطحی خاک (SMC<sup>۱</sup>) با کمک رگرسیون‌های ساده و چندمتغیره خطی فراهم نمودند. ۷۵ درصد از داده‌ها برای تدوین و ۲۵ درصد از آنها برای ارزیابی مدل‌ها استفاده شد.

### - رطوبت خاک

داده‌های رطوبت لایه سطحی خاک (۰-۱۰ سانتی‌متر) سه ایستگاه مشهد، گلستان و نیشابور در سه سال آماری ۲۰۰۴، ۲۰۰۵ و ۲۰۰۳، که تقریباً هر ۵ روز یکبار به روش وزنی- حرارتی اندازه‌گیری شده و در بخش آمار و اطلاعات اداره کل هواشناسی استان خراسان رضوی موجود بود، به عنوان داده‌های مرجع در این تحقیق استفاده شد.

1- Soil Moisture Content

- شاخص اختلاف پوشش گیاهی نرمال شده (NDVI) NDVI متداول‌ترین شاخص پوشش گیاهی است که از تقسیم اختلاف مقادیر باندهای قرمز (Red) و مادون قرمز نزدیک (NIR) بر مجموع آنها بدست می‌آید:

$$NDVI = \frac{NIR - Red}{NIR + Red} \quad (1)$$

این شاخص برای تمامی پیکسلهای تصویر با توجه به رابطه بالا و با استفاده از باندهای ۱ و ۲ سنجنده مودیس، محاسبه شد.

- دمای سطح زمین (LST) و دمای درخشندگی باندهای (BT<sub>32</sub>, BT<sub>31</sub>) ۳۱ و ۳۲

الگوریتم‌های محدودی برای بدست‌آوردن درجه حرارت از تصاویر ماهواره‌ای مودیس ارائه شده است که در برخی از آنها تنها از یک باند حرارتی و در برخی دیگر از دو یا چند باند حرارتی استفاده شده است. در اینجا به دلیل نتایج قابل قبولی که در کشور از الگوریتم دو باند مورد استفاده در الگوریتم سبال (SEBAL<sup>۱</sup>) بدست‌آمد است، از این الگوریتم برای بدست‌آوردن درجه حرارت استفاده شد.

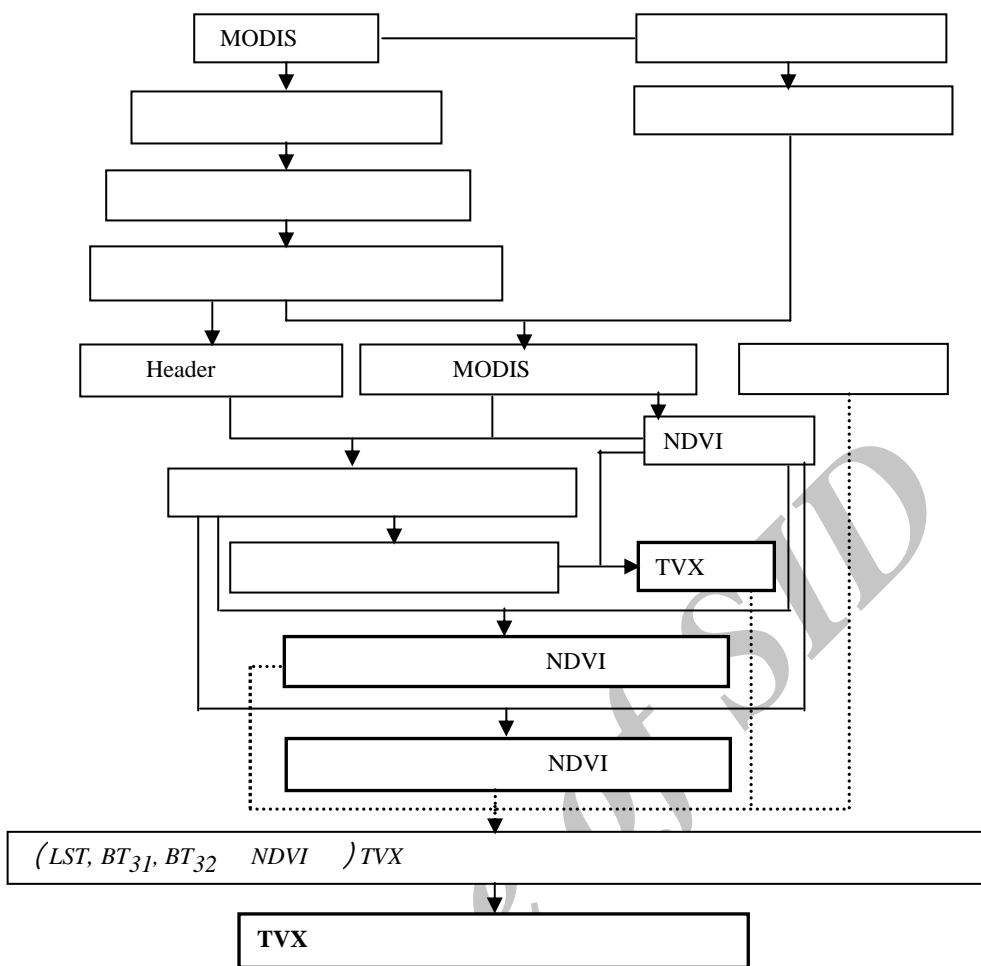
کشور) شامل سرعت باد، دمای هوا، بارندگی و تبخیر نیز استفاده شد.

با توجه به مطالعات انجام شده و ارتباط نزدیکی که بین رشد و نمو گیاهان مرتعی و رطوبت خاک در مناطق خشک و نیمه‌خشک وجود دارد، به نظر می‌رسد بتوان از همبستگی بین دمای سطح زمین و شاخصهای معرف پوشش گیاهی حاصل از تصاویر ماهواره‌ای جهت مطالعه رطوبت لایه سطحی خاک در این مناطق استفاده نمود.

#### آماده‌سازی داده‌های مودیس و روش انجام کار

در این پژوهش از روش TVX برای برآورد رطوبت سطحی خاک استفاده شد، که مراحل انجام کار در شکل (۲) آمده است. روش TVX از رابطه بین دمای سطحی و شاخص پوشش گیاهی برای تخمین رطوبت حجمی لایه سطحی خاک استفاده می‌کند. بدین منظور شاخص اختلاف پوشش گیاهی نرمال شده، دمای روشنایی باندهای حرارتی ۳۱ و ۳۲ و دمای سطح زمین از تصاویر سنجنده مودیس استخراج شد و درنهایت شبیه رابطه (شبیه نمودار همبستگی بین NDVI با عامل‌های TVX, BT<sub>31</sub>, LST, BT<sub>32</sub>) بدست‌آمد. برای بررسی شبیه مذکور از تصاویر در تاریخهای مختلف استفاده گردید. بنابراین در هر تاریخ و هر ایستگاه در داخل پنجره ۳\*۳ لحظه شده (به مرکزیت ایستگاه مورد نظر)، BT<sub>32</sub>, BT<sub>31</sub>, LST و NDVI محاسبه شده و درنهایت شبیه رابطه TVX بدست‌آمد.

1- Surface Energy Balance Algorithm for Land



شکل ۲- مراحل استفاده از شاخص TVX برای تخمین رطوبت لایه سطحی خاک

عرض باندهای حرارتی سنجنده‌های ماهواره‌ای کمتر از آن است که بتواند معرف B در معادله فوق باشد. محدوده تابش استفاده شده در رابطه استفان-بولتزمن ۳ تا ۳۰۰ میکرومتر است، در حالی که محدوده باندهای حرارتی تصاویر ماهواره‌ای عموماً بین ۱۰/۵ تا ۱۲/۵ میکرومتر می‌باشد. بنابراین الگوریتم سبال از رابطه پلانک

$$B_\lambda = \frac{2\pi\hbar c^2}{\lambda^5 \left[ \exp\left(\frac{hc}{k\lambda T}\right) - 1 \right]} \quad (\text{¶})$$

قانون استفان-بولتزمن رابطه بین دما و تابش واحد سطح یک جسم سیاه در کل طیف الکترومغناطیسی را نشان می‌دهد (Morse *et al.*, 2000)

$$B = \sigma T^4 \quad (2)$$

که  $B$  تابش جسم سیاه ( $W/m^2$ ),  $T$  دمای سطحی جسم سیاه (K) و  $\sigma$  ثابت بولتزمن است که معادل  $5.67 \times 10^{-8} (W/m^2/K^4)$  می‌باشد.

دستگاه SI واحد  $K_2$ ، درجه کلوین و واحد  $K_1$ ،  $W/m^2/sr/\mu s$  می‌باشد.

رادیانس طیفی ( $L\lambda$ )، انرژی تابش طیفی در هر باند است که توسط ماهواره از بالای اتمسفر در واحد زاویه فضایی مشاهده می‌شود و برای تصاویر مودیس از رابطه زیر بدست می‌آید (Kumar Sen, 2004)

$$L_\lambda = \text{scale\_radiance}(\text{SI} - \text{offset\_radiance}) \quad (5)$$

که واحد آن بر حسب  $W/m^2/\mu m/st$  می‌باشد. در فرمول فوق SI معادل درجات روشنایی تصویر است. مقادیر offset\_radiance و scale\_radiance برای باندهای ۳۱ و ۳۲ (باندهای حرارتی) در جدول (۲) ارائه شده است (Hongjie Xie, 2003).

که  $B\lambda$  شدت تابشی است که طول موج  $\lambda$  دارد  $(W/m^2)$  ثابت پلانک  $h = 6.626 \times 10^{-34} Js$ ،  $c$  سرعت نور  $2.998 \times 10^8 m/s$ ،  $k$  ثابت بولتزمن  $1.381 \times 10^{-23} J/K$  و  $T$  دمای سطحی جسم سیاه ( ${}^0 K$ ) می‌باشد. دمای سطحی از معکوس‌سازی معادله (۳) و با استفاده از ثابت پلانک اصلاح شده برای جسم غیرسیاه بدست می‌آید (Allen et al., 2002)

$$T_s = \frac{K_2}{\ln\left(\frac{\varepsilon_{NB}K_1}{R_c} + 1\right)} \quad (4)$$

که  $R_c$  تابش باند حرارتی تصحیح شده  $(W/m^2/sr/\mu s)$   $\varepsilon_{NB}$  گسیلمندی سطحی باند کم عرض حرارتی و  $k_1$  و  $k_2$  ثوابت معادله هستند. در

جدول ۲- مقادیر Offset\_radiance و Scale\_radiance برای باندهای ۳۱ و ۳۲

Offset_radiance	Scale_radiance	Band
۱۵۷۷/۳۴	۰/۰۰۰۸۴۰۰۲۲	۳۱
۱۶۵۸/۲۲	۰/۰۰۰۷۲۹۶۹۸	۳۲

گردید. با معکوس‌سازی معادله (۴) روابط زیر برای ضرایب  $k_1$  و  $k_2$  بدست آمد:

$$k_1 = \frac{2\pi hc^2}{\lambda^5} \quad (6)$$

$$k_2 = \frac{hc}{k\lambda} \quad (7)$$

با استفاده از روابط (۶) و (۷) مقادیر زیر برای ضرایب  $k_1$  و  $k_2$  بدست آمد:

در این مرحله با توجه به جنس مواد متشکله عوارض سطح زمین و با استفاده از معکوس رابطه پلانک برای هر پیکسل تصویر، یک عدد برای دمای درخشندگی بدست می‌آید که با دمای درخشندگی واقعی جسم تفاوت دارد. برای محاسبه دمای سطحی از باندهای ۳۱ و ۳۲ تصویر مودیس که محدوده طیفی ۱۰/۷۸ تا ۱۲/۲۷ میکرومتر را پوشش می‌دهند، استفاده شد. با استفاده از رابطه (۳) دمای درخشندگی باندهای ۳۱ و ۳۲ محاسبه

دماي سطح زمين براساس رابطه استفاده شده توسط Kumarsen (2004) به صورت زير محاسبه گردید:

$$\text{برای باند } ۳۱: k_1 = ۷۳۰/۷ \quad k_2 = ۱۳۰۶/۳ \quad \text{و} \\ \text{برای باند } ۳۲: k_1 = ۴۷۵/۵ \quad k_2 = ۱۱۹۸/۷ \quad \text{و}$$

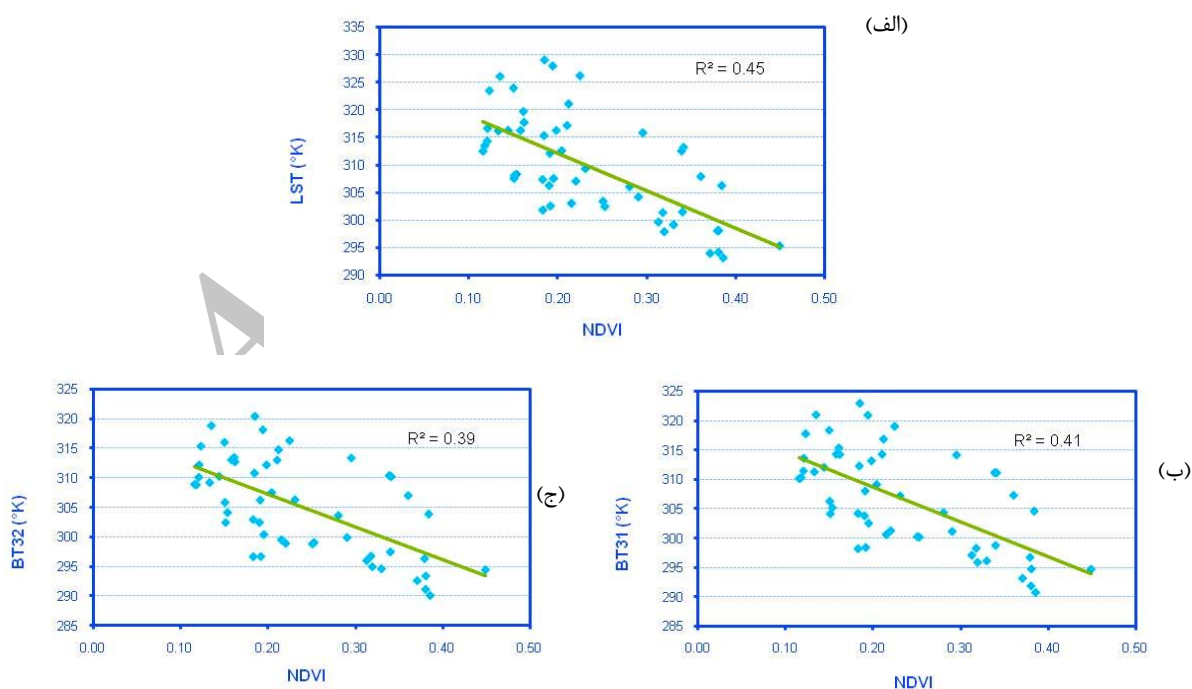
$$LST = 0.39BT_{(31)}^2 + 2.34BT_{(31)} - 0.78BT_{(31)}BT_{(32)} - 1.34BT_{(32)} + 0.39BT_{(32)}^2 + 0.56 \quad (۸)$$

تصویر (پنجره  $3 \times 3$ ) که ایستگاه مورد نظر در مرکز این پنجره قرار دارد استفاده گردید.

### نتایج

این مطالعه از طریق ترکیب داده‌های انعکاسی با داده‌های حرارتی، رطوبت لایه سطحی خاک را با توجه به وضعیت پوشش گیاهی طبیعی منطقه انجام شده است. نتایج بدست آمده نشانگر موفقیت نسبی این روش در پیش‌بینی رطوبت لایه سطحی خاک با استفاده از شبیه رابطه TVX در منطقه مورد مطالعه است.

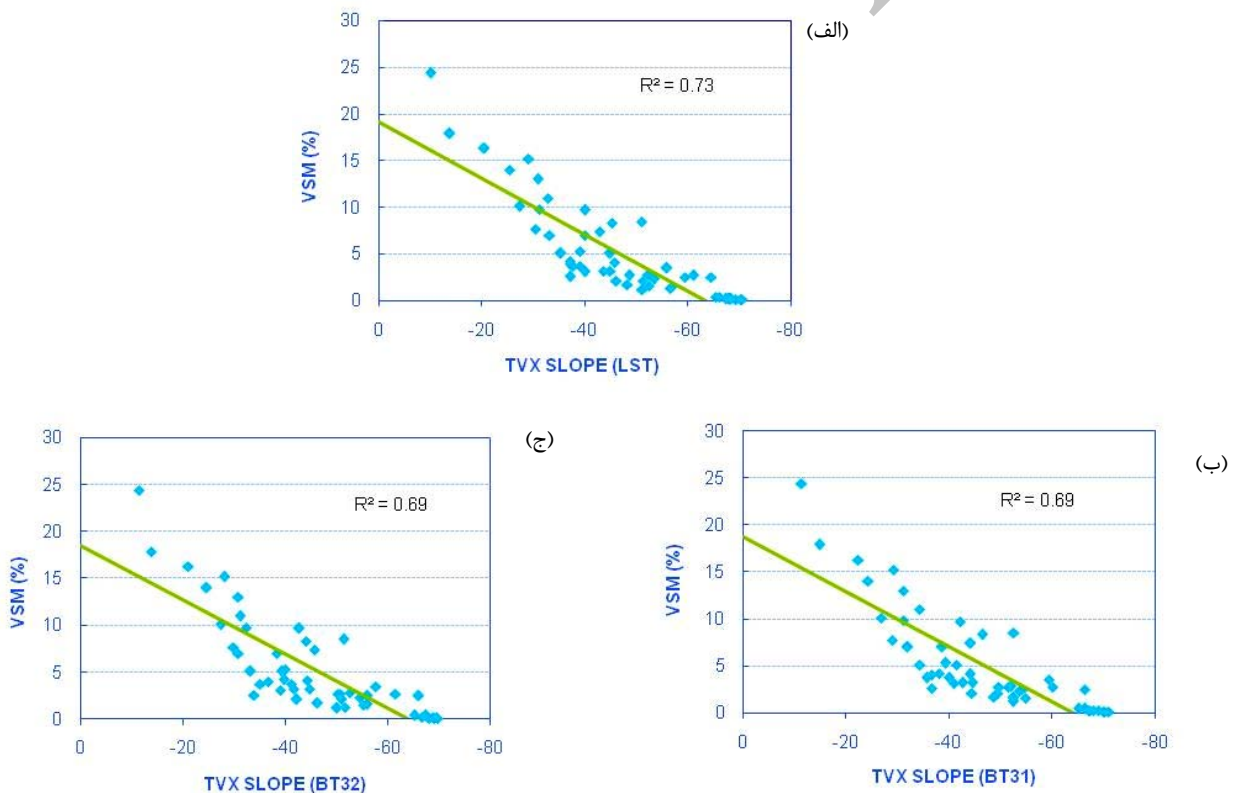
که در آن  $BT_{(31)}$  دماي درخشندگی باند ۳۱ و  $BT_{(32)}$  دماي درخشندگی باند ۳۲ بر حسب درجه کلوين می‌باشد. با استفاده از روابط و ضرایب ثابت ارائه شده، مدل  $LST$  و  $BT_{31}$  و  $BT_{32}$  برای محاسبه دماي درخشندگی باندهای ۳۱، ۳۲ و درجه حرارت سطحی در قسمت Modeller نرم‌افزار Erdas Imagine نوشته شد. برای افزایش دقت برآورد شاخصهای ماهواره‌ای از مقادیر میانگین ۹ پیکسل  $NDVI$ ،  $LST$ ،  $BT_{31}$  و  $BT_{32}$  از مقادیر میانگین ۹ پیکسل



شکل ۳- رابطه (الف) دماي سطح زمين، (ب) دماي روشنایي باند ۳۱، (ج) دماي روشنایي باند ۳۲ و شاخص TVX (شبیه رابطه NDVI)

آزمونهای همبستگی به منظور تعیین ارتباط شیب رابطه TVX با داده‌های مشاهده شده رطوبت خاک بین آنها انجام شد. شکل (۴-الف) نمودار رگرسیونی شیب رابطه TVX حاصل از همبستگی TVX و NDVI با رطوبت حجمی لایه سطحی خاک (VSM<sup>۱</sup>) را در طول دوره مطالعاتی نشان می‌دهد. همانطور که پیشتر اشاره شد در این تحقیق علاوه بر LST از دمای روشنایی باند ۳۱ و ۳۲ نیز برای تعیین شیب رابطه TVX استفاده شده است (شکل‌های ۴-ب و ۴-ج).

با توجه به عامل‌های مورد نیاز در محاسبه رطوبت خاک به روش TVX، شاخص پوشش گیاهی NDVI و عامل‌های BT<sub>31</sub>، LST و BT<sub>32</sub> از تصاویر سنجنده MODIS استخراج گردید و در ادامه اقدام به بررسی شیب رابطه TVX (شیب نمودار همبستگی بین TVX و NDVI) (۴-الف) شد. شکل (۴-ب) شیب رابطه TVX با در سه حالت (رابطه TVX با BT<sub>31</sub>، LST و BT<sub>32</sub>) نشان می‌دهد.



شکل ۴- نمودار شیب رابطه TVX (الف) TVX- NDVI (ب) BT<sub>31</sub>- NDVI (ج) BT<sub>32</sub>- NDVI و رطوبت حجمی لایه سطحی خاک (VSM)

1- Volumetric Soil Moisture

TVX در مدل‌های بدست‌آمده، بمنزله کاهش رطوبت خاک می‌باشد). ضرایب همبستگی و میانگین مربعات خطای (MSE) در همه مدل‌ها تقریباً یکسان و یا نزدیک به هم است، ولی مدل بدست‌آمده از شیب نمودار NDVI و LST ضریب همبستگی (۰/۷۳) بالاتر و میانگین مربعات خطای (۰/۷۱) کمتری نسبت به دو مدل دیگر دارد.

نتایج و خصوصیات آماری مدل‌های برآذش داده شده بین شیب رابطه TVX و رطوبت حجمی خاک (شکل (۴)) در جدول (۳) جمع‌آوری شده است. سه مدل رطوبتی ارائه شده نشان می‌دهد که شیب رابطه TVX از لحاظ آماری همبستگی منفی و معنی‌داری با رطوبت لایه سطحی خاک دارد (این بدان معنی است که افزایش شیب منفی رابطه

جدول ۳- ضرایب همبستگی مدل‌های رطوبت لایه سطحی خاک حاصل از شیب رابطه TVX

	Equation	R <sup>2</sup> -adj	RMSE
1	VSM=19.089+0.3 Slope-LST	.73	2.71
2	VSM=18.756+0.294 Slope-BT31	.68	2.97
3	VSM=18.446+0.289 Slope-BT32	.68	2.99

و استفاده از روش TVX، رطوبت خاک بدست‌آمده از مدل‌ها دقیق‌تر و نزدیک‌تر به واقعیت خواهد بود. لازم به ذکر است که برآذش داده‌ها در این تحقیق به روش گام به گام انجام شد. برای متغیرهای مستقل حذف نشده در مدل، ضرایب رگرسیون ارائه و معنی‌دار بودن این ضرایب با آماره F در سطح معنی‌داری ۰/۰۵ بررسی گردید. برای آزمایش مدل‌های تولید شده به روش گام به گام، آزمون<sup>۱</sup> در سطوح مختلف (حداکثر ۰/۰۵) انجام شد و فرض صفر در کلیه مدل‌های ارائه شده، پذیرفته شد (تأیید فرض صفر بدان معناست که تفاوت معنی‌داری بین مقادیر رطوبت خاک مشاهداتی و تخمینی وجود ندارد). در این تحقیق، برای تعیین وجود همراستایی چندگانه بین متغیرهای مستقل از عامل تورم واریانس<sup>۲</sup> (VIF) استفاده گردید، مقدار این آماره در هیچ یک از مدل‌ها در محدوده بحرانی قرار نگرفت و همراستایی بین متغیرهای مستقل موجود در مدل‌ها مشاهده نشد.

برای تخمین دقیق‌تر رطوبت لایه سطحی خاک، از برخی داده‌های روزانه هواشناسی شامل سرعت باد (Wind)، دمای هوای (Tem)، باران پیشین (Rain)، تبخیر تجمیعی (Ev<sub>5</sub>) و ۱۰ روز (Ev<sub>10</sub>) قبل از اندازه‌گیری رطوبت خاک که هر یک به‌نحوی در تغییرات رطوبت لایه سطحی خاک منطقه مؤثر می‌باشند، استفاده شد. خلاصه مدل‌های بدست‌آمده در جدول (۴) ارائه شده است. همان‌طور که مدل‌های ارائه شده در جدول (۴) نشان می‌دهند با دخالت عامل‌های هواشناسی، مدل‌های بهتری برای تخمین رطوبت لایه سطحی خاک بدست‌آمد. در انتخاب مدل‌های برتر، جهت گزینش مدل مناسب از بین مدل‌های رگرسیونی دو متغیره و چندمتغیره، ضمن توجه به عامل‌های مؤثر در انتخاب مدل، به سهل‌الوصول بودن شاخصهای مورد استفاده نیز باید توجه شود.

نوروزی اقدم و همکاران (۱۳۸۷) همبستگی معنی‌داری (با ضریب همبستگی ۰/۵۶) بین رطوبت لایه سطحی خاک و NDVI (حاصل از تصاویر سنجنده مودیس) تأخیری ۱۵ روزه بدست‌آوردند. مقایسه نتایج این دو بررسی نشان می‌دهد با دخالت شاخصهای حرارتی

1- t-student

2- Variance Inflation Factor

جدول ۴- ضرایب همبستگی بدست آمده از شب رابطه TVX، عاملهای هواشناسی و رطوبت لایه سطحی خاک

	Equation	R <sup>2</sup> -adj	RMSE
1	VSM=22.268+0.255 Slope-LST-0.106 Ev <sub>5</sub>	.77	2.52
2	VSM =22.222+0.244 Slope-LST-0.059 Ev <sub>10</sub>	.79	2.45
3	VSM =18.398+0.299 Slope -LST+0.343 Rain	.74	2.68
4	VSM =22.619+0.27608 Slope-LST-0.208 Tem	.74	2.68
5	VSM =21.639+0.252 Slope-LST-0.11 Ev <sub>5</sub> +0.365 Rain	.80	2.36
6	VSM =21.595+0.240 Slope-LST-0.062 Ev <sub>10</sub> +0.377 Rain	.82	2.26
7	VSM =22.135+0.246 Slope-BT <sub>31</sub> -0.112 Ev <sub>5</sub>	.74	2.69
8	VSM =22.062+0.235 Slope-BT <sub>31</sub> -0.063 Ev <sub>10</sub>	.76	2.61
9	VSM =18.053+0.295 Slope-BT <sub>31</sub> +0.405 Rain	.72	2.81
10	VSM =22.662+0.268 Slope-BT <sub>31</sub> -0.228 Tem	.71	2.84
11	VSM =21.48+0.247 Slope-BT <sub>31</sub> -0.115 Ev <sub>5</sub> +0.419 Rain	.78	2.48
12	VSM =21.418+0.234 Slope-BT <sub>31</sub> -0.065 Ev <sub>10</sub> +0.428 Rain	.80	2.39
13	VSM =21.997+0.242 Slope-BT <sub>32</sub> -0.115 Ev <sub>5</sub>	.74	2.68
14	VSM =21.9+0.23 Slope-BT <sub>32</sub> -0.064 Ev <sub>10</sub>	.75	2.61
15	VSM =17.749+0.288 Slope-BT <sub>32</sub> +0.356 Rain	.70	2.87
16	VSM =22.031+0.264 Slope-BT <sub>32</sub> -0.211Tem	.70	2.88
17	VSM =21.358+0.24 Slope-BT <sub>32</sub> -0.119 Ev <sub>5</sub> +0.38 Rain	.77	2.52
18	VSM =21.267+0.227 Slope-BT <sub>32</sub> -0.066 Ev <sub>10</sub> +0.39 Rain	.79	2.43

سرعت باد، Tem: دمای هوا، Rain: باران پیشین، Ev<sub>5</sub> و Ev<sub>10</sub>: تبخیر تجمعی ۵ و ۱۰ روز قبل از اندازه‌گیری رطوبت خاک

## بحث

بدست آمده از تصاویر مودیس و مقادیر واقعی رطوبت لایه سطحی خاک، امکان تجزیه و تحلیل داده‌ها بهمنظور دستیابی به مدل‌های برآورد رطوبت لایه سطحی خاک، با کمک رگرسیون‌های خطی ساده و چند متغیره فراهم شد.

نتایج بدست آمده از این تحقیق نشان داد که شب رابطه TVX همبستگی معنی‌داری با رطوبت لایه سطحی خاک دارد و می‌تواند تخمین خوبی از رطوبت لایه سطحی خاک در اراضی مرتعی مناطق خشک و نیمه‌خشک ارائه دهد.

تعیین رطوبت لایه سطحی خاک توسط تصاویر سنجنده مودیس از گام‌های نخستین برای شناسایی خصوصیات طبیعی و توان‌های ویژه منطقه مورد نظر و بهره‌برداری بهینه از امکانات آن، به طریق علمی می‌باشد. اطلاع دقیق از میزان رطوبت و نوسانهای روزانه آن، می‌تواند راهکارهایی مناسب در جهت تهیه نقشه‌های رطوبت لایه سطحی خاک، پیش‌بینی سیل، خشکسالی و سایر پدیده‌های اقلیمی با در اختیار داشتن تغییرات زمانی

روشهای اندازه‌گیری همواره با دگرگونی و پیشرفت همراه است و هر روز شاهد بهبود روشهای قبلی و جایگزینی فناوری و روشهای بدست آوردن داده‌ها و اطلاعات از پدیده‌های مختلف سطح زمین هستیم. منابع اطلاعاتی جدید و روشهای بهینه، در برآورد و اندازه‌گیری رطوبت لایه سطحی خاک نیز مؤثر بوده است. با استفاده از تصاویر مودیس و انجام مراحل مختلف پردازش و تصحیح داده‌ها، امکان استخراج شاخصهای نظیر اختلاف پوشش گیاهی نرمال شده (NDVI)، درجه حرارت خاک (LST) و دمای درخشندگی (BT) با استفاده از باندهای حرارتی ۳۱ و ۳۲ فراهم گردید. بهمنظور تعیین رابطه هر یک از این شاخصهای و همچنین ارزیابی دقت آنها، نیاز به داده‌های واقعی رطوبت خاک، همزمان با گذر ماہواره بود که این مهم با استفاده از داده‌های میدانی موجود در محدوده سه ایستگاه ذکر شده، انجام گردید. بدین ترتیب با استفاده از شاخصهای

- NDVI for the Arctic tundra in northern Alaska. International Journal of Remote Sensing, 25(9), 1547-1564.
- Kogan, F.N., 2000. Contribution of remote sensing to drought early warning In D.A. Wilhite, & D.A. Wood(Eds), Early warning systems for drought preparedness and drought management (PP. 75-87). Geneva: Word Meteorogical Organization.
  - Kumar Sen, P., 2004. Diagnosing Irrigation Water Resources with Multi Sensor Remote sensing and GIS Tecniques (A case study of the Roxo Dam Irrigation System, Portugal). International Institute for Geo Information Science and Earth Observation Enschede, the Netherlands.
  - Legates, D.R., 2000. remote sensing hydroclimatology: An introduction. The professional Geographer, 52, 233-234.
  - Morse, A., Tasumi, M., Allen, R.G. and Kramber, W., 2000. Application of the SEBAL Methodology for Estimating Consumptive Use of Water and Stream Flow Depletion in the Bear River basin of Idaho through Remote Sensing, Final report, EOSDIS, Idaho Department of Water Resources and University of Idaho, pp. 107.
  - Price, J.C., 1990. Using spatial context in satellite data to infer regional scale evapotranspiration. IEEE Transactions on Geosciences and Remote Sensing, 28 (5), 940– 948.
  - Qin, Q., Ghulam, A., Zhu, L., Wang, L., Li, J. and Nan, P., 2008. Evaluation of MODIS derived perpendicular drought index for estimation of surface dryness over northwestern China, International Journal of Remote Sensing, 29: 1983 – 1995.
  - Ramirez, N.D., Vasquez R. and Cruzado, H., 2003. Estimation of Soil Moisture.
  - Shao, M., Park, J. and Yasuda, Y., 2004. Monitorin of land surface temperature change of the NorthEast region in china by MODIS data.
  - Unganai, L.S. and Kogan, F.N., 1998. Drought monitoring and corn yield estimation in southern Africa from AVHRR data. Remot Sensing of Environment, 63, 219-232.
  - Wang, L. and Qu, J., 2009. Satellite remote sensing applications for surface soil moisture monitoring: A review, Frontiers of Earth Science in China.
  - Wigneron, J.P., Schmugge, T., Chanzy, A., Calvet, J.C. and KERR, Y., 1998. Use of passive microwave remote sensing to monitor soil moisture a review. Agronomie: Agriculture and Environment 18:27-43.
  - Wilson, D. and Western, A.W., 2003. Spatial distribution of soil moisture over 6 and 30cm depth, Machurangi river catchment, New Zealand. Journal of Hydrology, 276: 254-274.

و مکانی رطوبت خاک، مطالعات کشاورزی و منابع طبیعی، مدیریت مرتع و ... فراهم نماید.

### منابع مورد استفاده

- پوراصغر، ف.، ۱۳۸۲. بررسی توزیع دما در سطح دریاچه ارومیه با استفاده از تصاویر ماهواره‌ای، دانشکده منابع طبیعی و علوم دریایی، دانشگاه تربیت مدرس.
- علوی پناه، س.ک.، ۱۳۸۲. کاربرد سنجش از دور در علوم زمین(علوم خاک). مؤسسه انتشارات و چاپ دانشگاه تهران.
- علوی پناه، س.ک.، ۱۳۸۵. سنجش از دور حرارتی و کاربرد آن در علوم زمین. مؤسسه انتشارات و چاپ دانشگاه تهران.
- نجفی دیسفانی، م.، ۱۳۷۷. پردازش کامپیوتری تصاویر سنجش از دور. تأثیف میدز، پل ام.، انتشارات سمت.
- نوروزی اقدم، ا.، بهبهانی، س.م.، رحیمی خوب، ع. و عقیقی، ح.، ۱۳۸۷. مدل رطوبتی لایه سطحی خاک با استفاده از شاخص NDVI در اراضی مرتعی مناطق خشک و نیمه خشک. مجله علمی و پژوهشی محیط‌شناسی، دوره ۳۴، شماره ۴.
- Allen, R., Waters, R., Tasumi, M., Trezza, R. and Bastianssen, W., 2002. SEBAL, Surface Energy Balance Algorithms for Land Idaho Implementation, Advanced Training and Users Manual. Idaho, USA.
- Goetz, S.J., 1997. Multi-sensor analysis of NDVI, surface temperature and biophysical variables at a mixed grassland site. International Journal of Remote Sensing, 18 (1), 71– 94.
- Goetz, S.J., Prince, S.D., Goward, S.N., Thawley, M.M. and Small, J., 1999. Satellite remote sensing of primary production: an improved production efficiency modeling approach.
- Goward, S.N., Cruickshanks, G.C. and Hope, A.S., 1985. Observed relation between thermal emissions and reflected spectral reflectance from a complex vegetated landscape. Remote Sensing of Environment, 18, 137– 146.
- Goward, S.N., Xue, Y. and Czajkowski, K.P., 2000. Evaluating land surface moisture conditions from the remotely sensed temperature/vegetation index measurements An exploration with the simplified simple biosphere model. Remote Sensing of Environment, 79, 225– 242.
- Hongjie Xie, 2003. Some MODIS products and pre-processing. New Mexico Tech.
- Jia, G.J., Epstein, H.E. and Walker, D.A., 2004. Controls over intra-seasonal dynamics of AVHRR

## Estimation of soil surface moisture in arid and semi arid rangelands using remotely sensed Temperature/Vegetation Index measurements (TVX) (Case Study: Khorasan Province)

Babazadeh, H.<sup>1</sup>, Norouzi Aghdam, E.<sup>2\*</sup>, Aghighi, H.<sup>3</sup>, Shamsnia, S.A.<sup>4</sup> and Khodadadi dehkordi, D.<sup>5</sup>

1- Assistant Professor, Deapartment of Hydrology Engineering, Islamic Azad University, Science & Research Branch, Tehran, Iran.

2\*- Corresponding Author, Research Instructor, Islamic Azad University, Urmia Branch, Urmia, Iran, Email:el\_noroozi@yahoo.com

3-Senior Research Expert of Iranian Space Agency

4-Research Instructor, Deapartment of Hydrology Engineering, Islamic AzadUniversity, Shiraz Branch, Shiraz,Iran.

5- Research Instructor, Deapartment of Hydrology Engineering, Islamic AzadUniversity, Science & Research Branch, Tehran, Iran.

Received: 28.08.2010

Accepted:15.05.2011

### Abstract

Soil surface moisture and it's spatial and temporal variability is one of the most importantenvironmental variables. Due to the difficult, costly and time consuming measurements of field studies, this parameter has not been used widely in climate models. Nowadays, with the increasing development of science, adoption of new technologies for proper management of limited water and soil resources is necessary. The objective of this research was to analyze the application of MODIS images for estimating the soil surface moisture in arid and semiarid rangelands with ephemeral vegetation cover using TVX. Field data measurments of soil surface moisture and some daily meteorological parameters in three station of Mashhad, Golmakan and Neyshaboor of Khorasan province were used for more accurate estimate of soil surface moisture from 2003 to 2005. NDVI, Brightness Temperature of the bands ( $BT_{31}$ ,  $BT_{32}$ ) and Land Surface Temperature (LST) were derived from MODIS images and TVX slope was calculated. Different regression models were fitted to assess the relationship between TVX slope and soil surface moisture. According to the results, soil surface moisture in arid and semiarid climate showed a good correlation with TVX slope.

**Key words:** Soil surface moisture, MODIS, Rangeland, TVX, Khorasan province, LST